

EsD3: Macchine a stati finiti: semafori e riconoscitore di fronti

Gruppo 1.AC
Matteo Rossi, Bernardo Tomelleri

6 maggio 2022

1 Misura componenti dei circuiti

Riportiamo per completezza il valore della tensione continua di alimentazione per i circuiti integrati misurata con il multimetro

$$V_{CC} = 4.99 \pm 0.03 \text{ V}$$

e il valore di capacità del condensatore di disaccoppiamento che collega le linee di alimentazione a massa (sempre misurato con il multimetro)

$$C_d = 97 \pm 4 \text{ nF}$$

2 Implementazione di un semaforo con circuiti integrati

2.a Diagramma a stati del semaforo

Quando il semaforo è in modalità “abilitato” ($E = 1$) si susseguono ciclicamente 3 possibili output, per cui sono stati implementarli con 3 stati interni della macchina. Mentre nel caso di semaforo “disabilitato” ($E = 0$) i possibili output si riducono a 2, e si possono esprimere utilizzando due degli stati precedentemente codificati a seconda del valore logico dell’input ENABLE tramite un circuito FSM di Mealy.

Scegliamo di codificare con due bit di memoria (Q_1Q_0) i tre stati: 00, 01 e 10 che corrispondono, quando $E = 1$, ai tre output “verde” (V), “verde-giallo” (VG), “rosso” (R). Quando invece $E = 0$ vengono usati solamente i primi due 00 e 01, che corrispondono agli output del semaforo “spento” (Y^0) e “giallo” (Y^1) come si può vedere già nel diagramma a stati riportato in fig. 1.

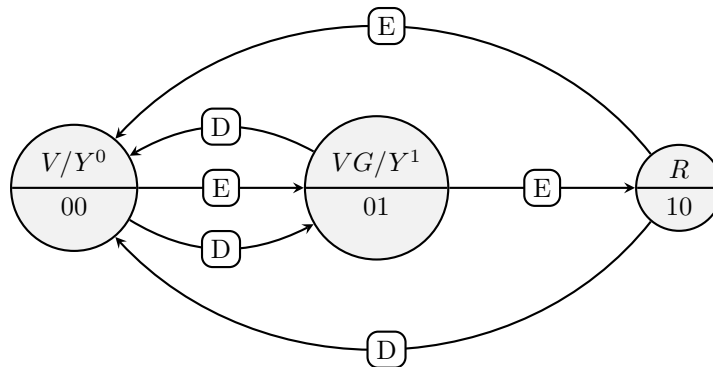


Figura 1: Diagramma degli stati del semaforo FSM di Mealy con Enable

2.b Codifica degli stati della macchina

La codifica in termini di bit degli stati della macchina è riassunta nella tabella 1, dove Q_0 e Q_1 corrispondono rispettivamente al valore logico delle uscite del primo e del secondo flip-flop, mentre S_E e S_D rappresentano lo stato associato al semaforo a seconda che questo sia ENABLED o DISABLED.

| S_D | S_E | Q_1 | Q_0 |
|-------|-------|-------|-------|
| Y^0 | V | 0 | 0 |
| Y^1 | VG | 0 | 1 |
| | R | 1 | 0 |

Tabella 1: Codifica binaria scelta per gli stati del semaforo.

| ENABLE | current state | | | next state | | |
|--------|---------------|-------|-------|------------|-------|-----------|
| | LED | Q_1 | Q_0 | D_1 | D_0 | LED |
| 1 | V | 0 | 0 | 0 | 1 | VG |
| | VG | 0 | 1 | 1 | 0 | R |
| | R | 1 | 0 | 0 | 0 | V |
| | \ominus | 1 | 1 | X | X | \ominus |
| 0 | Y^0 | 0 | 0 | 0 | 1 | Y^1 |
| | Y^1 | 0 | 1 | 0 | 0 | Y^0 |
| | Y^0 | 1 | 0 | 0 | 0 | Y^0 |
| | \ominus | 1 | 1 | X | X | \ominus |

Tabella 2: Tabella di verità per le transizioni di stato del semaforo Mealy

| E | Q_0 | Q_1 | G | Y | R |
|-----|-------|-------|---|---|---|
| 1 | 0 | 0 | 1 | 0 | 0 |
| 1 | 0 | 1 | 1 | 1 | 0 |
| 1 | 1 | 0 | 0 | 0 | 1 |
| 1 | 1 | 1 | X | X | X |
| 0 | 0 | 0 | 0 | 0 | 0 |
| 0 | 0 | 1 | 0 | 1 | 0 |
| 0 | 1 | 0 | X | X | X |
| 0 | 1 | 1 | X | X | X |

Tabella 3: Corrispondenza tra gli stati della FSM e i valori di tensione digitali in ingresso ai LED del semaforo

2.c Tabelle di verità

Come visto nel diagramma degli stati il segnale di input ENABLE modifica l'uscita del circuito in maniera asincrona, mentre dalla tabella di verità (tabella 2) si intuisce come lo stato futuro dipenda da quello precedente incrementando come un contatore in maniera sincrona rispetto al segnale di clock.

Come esplicitato nella tabella 3 possiamo collegare gli output della macchina ai led di colori Verde, Giallo e Rosso secondo lo schema logico seguente:

LED verde acceso $G = Q_1 = 0$ ($\iff \overline{Q_1} = 1$)

LED giallo acceso $Y = Q_0 = 1$

LED rosso acceso $R = Q_1 = 1$

in modo tale che nella realizzazione pratica del circuito, in corrispondenza degli opportuni stati della FSM in uscita dai Flip-Flop si accendano le corrette combinazioni di LED (ad esempio: $Y = Q_0 \implies$ LED giallo in serie a Q_0).

Occorre specificare che, nel caso in cui $E = 0$, $Q_0 = 1$ e $Q_1 = 0$ (riportato come X nella tabella 3, produce l'output "rosso". Questo vale a dire che se il semaforo è "rosso" con ENABLE alto e questo viene messo a zero, rimarrà rosso fino al fronte di salita successivo del clock, dopo di cui si spegne come previsto dalla modalità disabilitato. Mentre per quanto riguarda l'accensione dei led verde, questa è consentita solo quando ENABLE = 1

- $\overline{Q_1} \cdot E \implies$ LED verde acceso (G)
- $Q_1 \implies$ LED rosso acceso (R)

AND-gate per LED rosso Facendo uso di una quarta porta AND è possibile rendere l'accensione del LED rosso dipendente dal segnale di ENABLE (ovvero $R = Q_1 \cdot E$) in maniera analoga a quanto fatto per il LED verde. Dalla tabella 2 infatti si nota che l'unica differenza di funzionamento si avrebbe durante la transizione di $E : 1 \rightarrow 0$. Per cui in questa variante del circuito, lo spegnimento diventerebbe asincrono rispetto al segnale di clock anziché sincrono.

2.d Mappe di Karnaugh e logica combinatoria

Si riportano di seguito le tabelle di Karnaugh impiegate per derivare le espressioni logiche degli stati futuri $D_1 D_0$ in funzione di quelli correnti $Q_1 Q_0$:

| $E \backslash Q_1 Q_0$ | 00 | 01 | 11 | 10 |
|------------------------|----|----|----|----|
| 0 | 1 | 0 | X | 0 |
| 1 | 1 | 0 | X | 0 |

Tabella 4: Tabella di Karnaugh per $D_0 = \overline{Q_0} \cdot \overline{Q_1}$

| $E \backslash Q_1 Q_0$ | 00 | 01 | 11 | 10 |
|------------------------|----|----|----|----|
| 0 | 0 | 0 | X | 0 |
| 1 | 0 | 1 | X | 0 |

Tabella 5: Tabella di Karnaugh per $D_1 = E \cdot Q_0$

2.e Costruzione del circuito

Si è montato il circuito riportato in fig. 2 con due positive-edge-triggered D Flip-Flop (da chip integrato 74LS74) e 3 porte AND (da chip integrato 74LS08) e si sono collegati i pin PRESET e CLEAR dei D-FF a V_{CC} onde evitare reset o clear spuri.

3.c Verifica del funzionamento del circuito

Si procede quindi con la verifica del funzionamento del circuito. Si invia al pin CLK un segnale di clock con frequenza pari ad 1 Hz, mantenendo collegati CLEAR e PRESET a Vcc come prima, e impostando la frequenza della ROM a 1 Mhz. Dalle immagini 6 e 7 possiamo concludere che il circuito funzioni come da aspettativa.

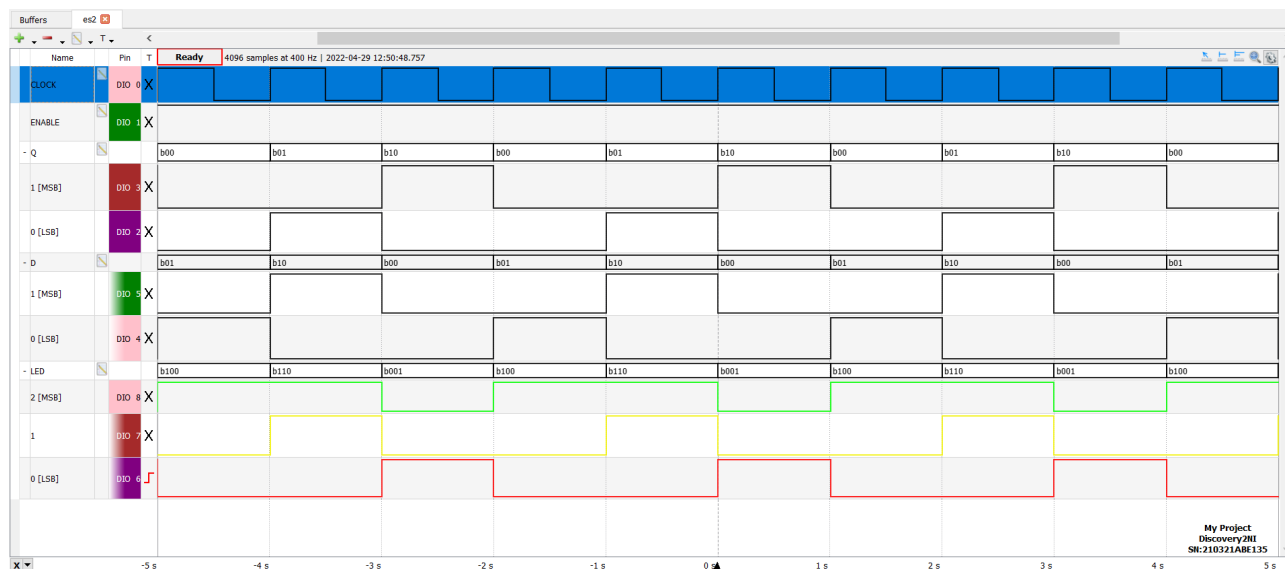


Figura 6: Acquisizione Logic del semaforo gestito da ROM, Abilitato

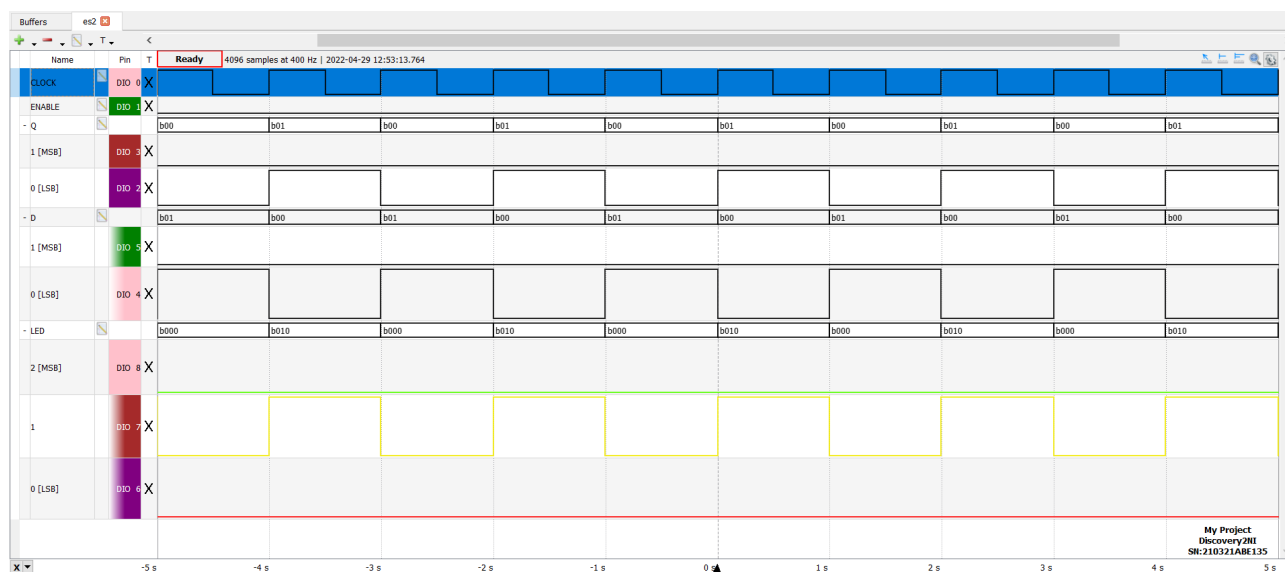


Figura 7: Acquisizione Logic del semaforo gestito da ROM, Disabilitato

3.d Variante svizzera del semaforo ROM

Si va quindi a modificare la fig. 5 in modo da utilizzare anche lo stato 1 1 (successivo al rosso) per visualizzare lo stato rosso e giallo. Si procede quindi a verificare il funzionamento del semaforo svizzero. Come prima inviamo un segnale di clock a 1 Hz e lasciamo la frequenza della ROM a 1 MHz. Osservando la fig. 9 possiamo concludere che il circuito funziona come da aspettativa

4 Implementazione in software dei semafori con MCU (Arduino)

Si vuole ricostruire il circuito precedente per il controllo di un semaforo tramite un microcontrollore (nel nostro caso utilizzeremo Arduino UNO). Dopo aver montato il circuito descritto in fig. 10, si procede con l'implementazione software del semaforo.

| | Q1 | Q0 | ENABLE | GREEN | YELLOW | RED | D1 | D0 |
|---|----|----|--------|-------|--------|-----|----|----|
| 1 | 0 | 0 | 1 | 1 | 0 | 0 | 0 | 1 |
| 2 | 0 | 1 | 1 | 1 | 1 | 0 | 1 | 0 |
| 3 | 1 | 0 | 1 | 0 | 0 | 1 | 1 | 1 |
| 4 | 1 | 1 | 1 | 0 | 1 | 1 | 0 | 0 |
| 5 | 0 | 0 | 0 | 0 | 0 | 0 | 0 | 1 |
| 6 | 0 | 1 | 0 | 0 | 1 | 0 | 0 | 0 |
| 7 | 1 | 0 | 0 | 0 | 0 | 0 | 0 | 0 |
| 8 | 1 | 1 | 0 | 0 | 0 | 0 | 0 | 0 |
| 9 | | | | | | | | |

Figura 8: Tabella di verità programmata all'interno della ROM per il controllo del semaforo svizzero

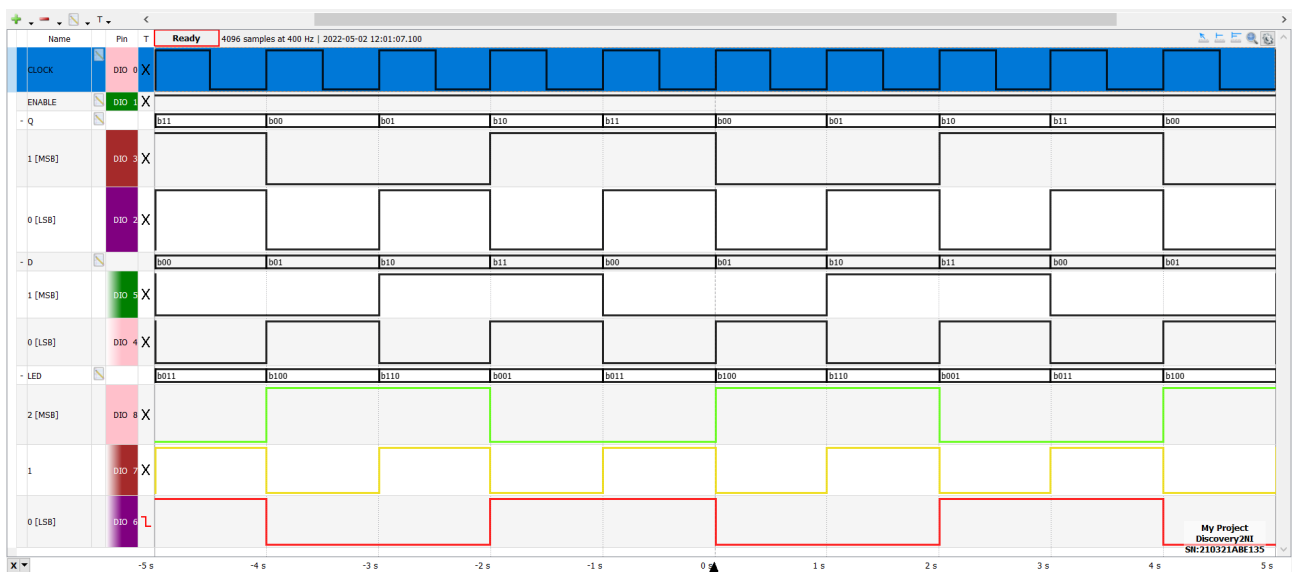


Figura 9: Acquisizione Logic del semaforo svizzero gestito da ROM, Abilitato

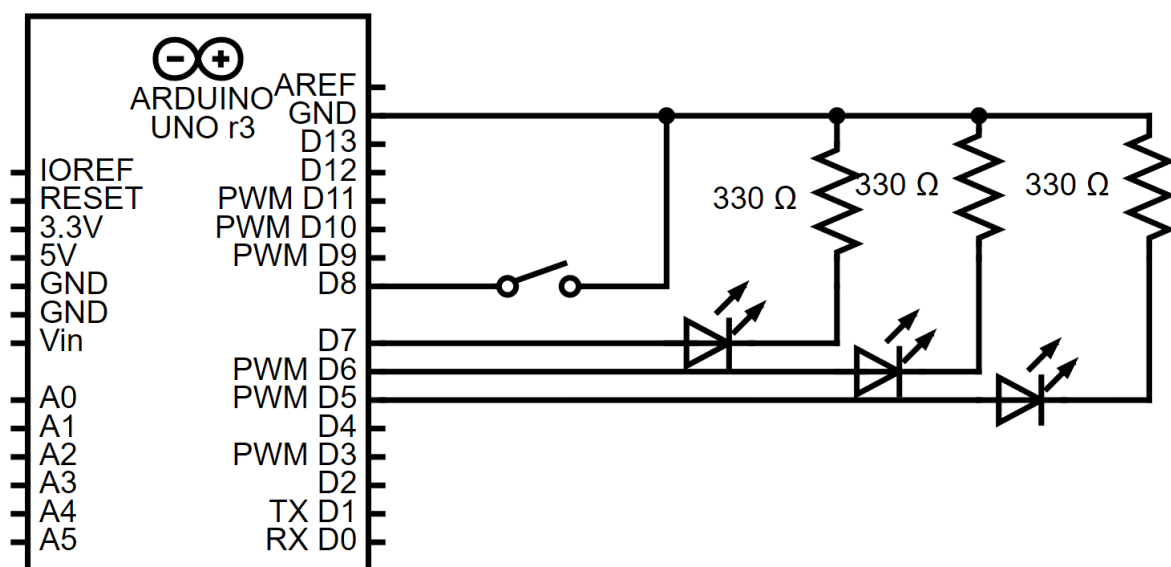


Figura 10: Schematica utilizzata nella gestione del semaforo con software tramite arduino.

4.a Implementazione del codice per la FSM

Ci basiamo sullo schema per il semaforo FSM di Mealy presente in fig. 1 per controllare il funzionamento di un semaforo tramite enable.

```
/*state
 * 0= ALL OFF
 * 1= RED ON
 * 2= RED YELLOW ON
 * 3= GREEN ON
 * 4= GREEN YELLOW ON
 * 5= YELLOW ON
 *
 */
void setup() {
    pinMode(5, OUTPUT); //Led Rosso
    pinMode(6, OUTPUT); //Led Giallo
    pinMode(7, OUTPUT); //Led Verde
    pinMode(8, INPUT_PULLUP); //Pin di Enable
}
int tickGREEN=1000; //Temporizzazione dello stato VERDE
int tickRED=1000; //Temporizzazione dello stato ROSSO
int tickYELLOW=1000; //Temporizzazione dello stato GIALLO
int tickREDYELLOW=1000; //Temporizzazione dello stato ROSSOGIALLO
int tickGREENYELLOW=1000; //Temporizzazione dello stato VERDEGIALLO
int tickOFF=1000; //Temporizzazione dello stato spento
int CurrentState=0; //stato iniziale impostato sul tutto spento
```

Figura 11: Fase di inizializzazione del software per la FSM con arduino

4.b Versione svizzera del semaforo con Enable via Arduino

Si introduce un quarto stato nel caso in cui il semaforo sia abilitato, successivo al rosso.

5 Falling-edge detector

5.a Progettazione FSM e costruzione dei circuiti

Si vuole realizzare una FSM che riceve uno stream di bit su una linea di ingresso e che accende un LED tutte le volte che su questo si presenta un fronte di discesa secondo il modello di Moore e un'altra secondo quello di Mealy.

5.b Definizione dello stream di bit casuali in ingresso

Con la funzione Patterns di Waveform si invia un segnale (in DIO 5) di clock di frequenza $f_{clk} = 1 \text{ kHz}$ al pin (CLK) dei Flip-Flop e si genera con il canale DIO 6 uno stream di dati random alla stessa frequenza $f = f_{clk}$, già dalla schermata di Patterns è possibile notare come le commutazioni di stato del segnale pseudocasuale avvengano in corrispondenza dei fronti di discesa del segnale di clock.

Come prima si sono mantenuti i pin PRESET e CLEAR dei D-FF collegati a V_{CC} per evitare reset o clear spuri.


```

void loop() {
  if(CheckEnable()){ //viene controllato se il semaforo è abilitato
    switch(CurrentState){ // nel caso in cui il semaforo sia abilitato
      /*case 1:
        CurrentState=2;
        digitalWrite(6,HIGH); //Questo segmento di codice va utilizzato per inserire un ulteriore quarto stato
        delay(tickREDYELLOW); //come nel caso del semaforo svizzero.
        break;*/
      case 1: //se lo stato precedente risulta essere solo rosso
        CurrentState=3; //lo stato corrente viene spostato a verde
        digitalWrite(5,LOW);
        digitalWrite(6,LOW);
        digitalWrite(7,HIGH);
        delay(tickGREEN); //viene fatto passare il tempo specificato all'inizio
        break;
      case 3: //se lo stato precedente risulta essere solo verde
        CurrentState=4; //lo stato corrente viene portato a giallo e verde
        digitalWrite(6,HIGH);
        delay(tickGREENYELLOW);
        break;

      default: // in qualunque altro caso di stato precedente, se il semaforo è abilitato, lo stato inizializzato è quello rosso
        CurrentState=1;
        digitalWrite(5,HIGH);
        digitalWrite(6,LOW);
        digitalWrite(7,LOW);
        delay(tickRED);
      }
    }
  }
}

```

Figura 12: Segmento di codice che definisce il comportamento della FSM nel caso in cui il semaforo risulti abilitato

```

} else { //nel caso in cui il semaforo sia disabilitato
  switch(CurrentState){
    case 5: // se lo stato precedente risulta essere giallo
      CurrentState=0; //imposta lo stato corrente a tutto spento
      digitalWrite(6,LOW);
      delay(tickOFF);
      break;
    default: // in qualunque altro caso di stato precedente, lo stato inizializzato è quello giallo
      CurrentState=5;
      digitalWrite(6,HIGH);
      digitalWrite(5,LOW);
      digitalWrite(7,LOW);
      delay(tickYELLOW);
    }
  }
}

bool CheckEnable(){ //Algoritmo di controllo per Enable

  int check =digitalRead(8);
  return (check== HIGH);
}

```

Figura 13: Segmento di codice che definisci il comportamento nel caso in cui il semaforo sia disabilitato

| State | IN | Q_1 | Q_0 | D_1 | D_0 | OUT |
|-------|----|-------|-------|-------|-------|-----|
| LOW | 0 | 0 | 0 | 0 | 0 | 0 |
| | 1 | 0 | 0 | 0 | 1 | 0 |
| EDGE | 0 | 1 | 0 | 0 | 0 | 1 |
| | 1 | 1 | 0 | 0 | 1 | 1 |
| HIGH | 0 | 0 | 1 | 1 | 0 | 0 |
| | 1 | 0 | 1 | 0 | 1 | 0 |

Tabella 6: codifica binaria degli stati del detector di Moore.

```

}else { //nel caso in cui il semaforo sia disabilitato
    switch(CurrentState){
        case 5: // se lo stato precedente risulta essere giallo
            CurrentState=0; //imposta lo stato corrente a tutto spento
            digitalWrite(6,LOW);
            delay(tickOFF);
            break;
        default: // in qualunque altro caso di stato precedente, lo stato inizializzato è quello giallo
            CurrentState=5;
            digitalWrite(6,HIGH);
            digitalWrite(5,LOW);
            digitalWrite(7,LOW);
            delay(tickYELLOW);
    }
}
}

bool CheckEnable(){ //Algoritmo di controllo per Enable

    int check =digitalRead(8);
    return (check== HIGH);
}

```

Figura 14: Segmento di codice che definisci il comportamento nel caso in cui il semaforo abilitato sia di tipo svizzero

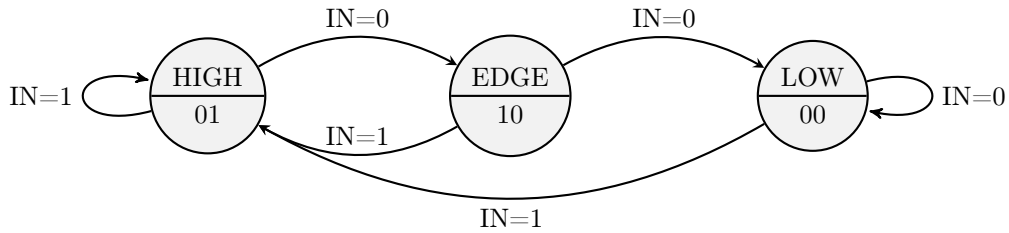


Figura 15: Edge detector FSM di Moore

| IN \ Q_1Q_0 | 00 | 01 | 11 | 10 |
|---------------|----|----|----|----|
| 0 | 0 | 0 | X | 0 |
| 1 | 1 | 1 | X | 1 |

Tabella 7: Tabella di Karnaugh per $D_0 = \text{IN}$

| IN \ Q_1Q_0 | 00 | 01 | 11 | 10 |
|---------------|----|----|----|----|
| 0 | 0 | 1 | X | 0 |
| 1 | 0 | 0 | X | 0 |

Tabella 8: Tabella di Karnaugh per $D_1 = \overline{\text{IN}} \cdot Q_0$

| IN \ Q_1Q_0 | 00 | 01 | 11 | 10 |
|---------------|----|----|----|----|
| 0 | 0 | 0 | X | 1 |
| 1 | 0 | 0 | X | 1 |

Tabella 9: Tabella di Karnaugh per $\text{OUT} = Q_1$

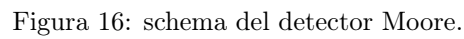
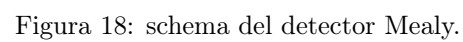


Tabella 10: codifica binaria degli stati del detector di Mealy. $D = \text{IN}; \text{OUT} = \overline{\text{IN}} \cdot Q$



5.c Verifica del funzionamento e analisi della temporizzazione

Si sono acquisiti i segnali in ingresso (CLK = DIO 5, IN = DIO 6) e in uscita (OUT = DIO 7) dai circuiti edge-detector con la funzione Logic Analyzer dell'AD2, di cui riportiamo i risultati per il circuito di Moore in fig. 19 e per la FSM di Mealy in fig. 20. Notiamo nel primo caso come l'uscita assume valore alto in maniera

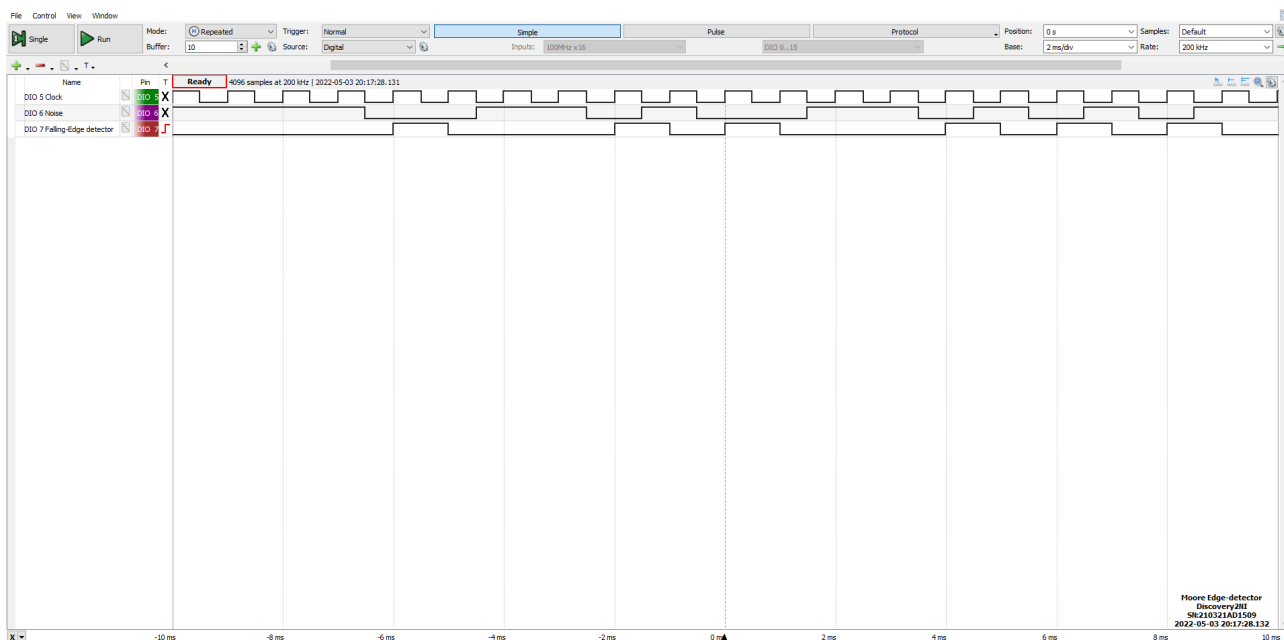


Figura 19: Acquisizione di un ciclo completo (frequenza 1 kHz) con Logic Analyzer dei segnali in ingresso e in uscita dall'edge detector di Moore.

sincrona rispetto al segnale di clock, mentre nell'implementazione di Mealy l'uscita non aspetta il successivo fronte d'onda del clock per salire al livello logico alto e accendere il LED.

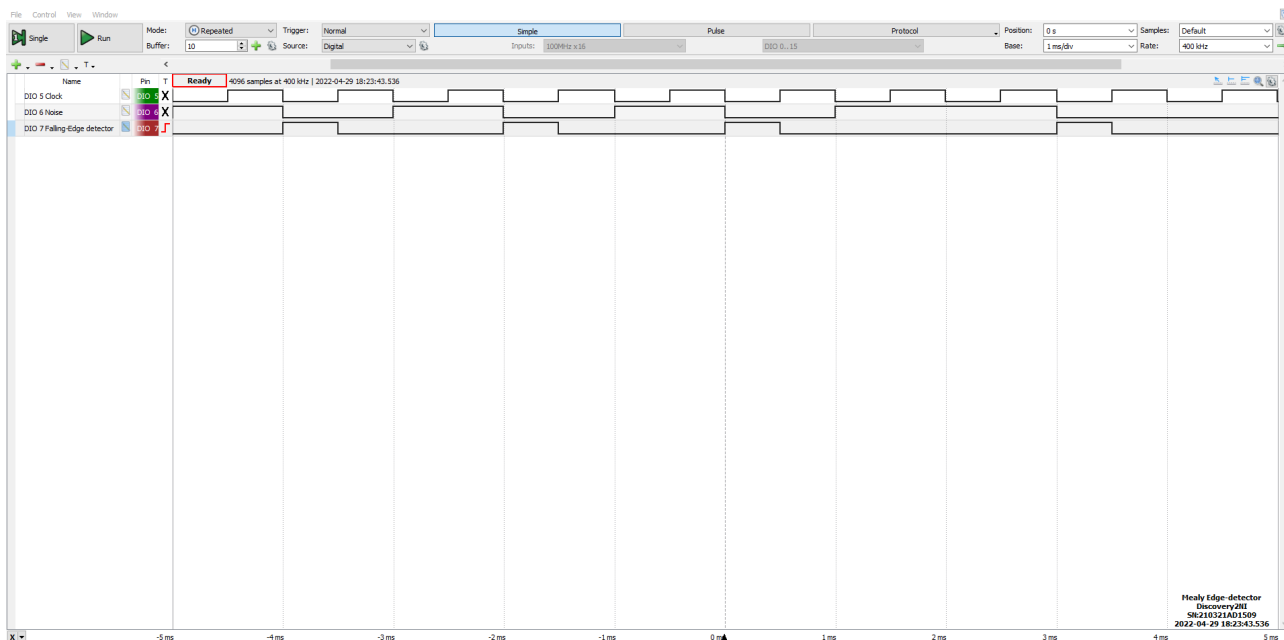


Figura 20: Acquisizione di un ciclo completo (frequenza 1 kHz) con Logic Analyzer dei segnali in ingresso e in uscita dal detector di Mealy.

Conclusioni e commenti finali

Si è riusciti a progettare, costruire e verificare il corretto funzionamento di circuiti logici combinatori di diversa complessità e svariate applicazioni (e.g., sistemi di controllo e misura) costruiti con porte NOT, NAND, OR

e D-FF. Inoltre si è riusciti ad apprezzare le diverse modalità di funzionamento delle macchine a stati finiti implementate secondo i modelli Moore e Mealy, ponendo particolare attenzione alle loro diverse temporizzazioni nei cambiamenti di stato, nonostante la bassa risoluzione temporale dell'AD2.

Dichiarazione

I firmatari di questa relazione dichiarano che il contenuto della relazione è originale, con misure effettuate dai membri del gruppo, e che tutti i firmatari hanno contribuito alla elaborazione della relazione stessa.